

## · 基础研究 ·

# 甘草酸苷通过下调 Cox-2/Akt/GSK3 $\beta$ /β-Catenin 信号通路抑制 UVB 诱导黑素生成的实验研究

周凌 郭亮 王敏 周伟

**摘要 目的** 探讨甘草酸苷(glycyrrhizic acid, GA)对中波紫外线(ultraviolet radiation b, UVB)照射后黑素细胞黑素生成能力的影响及其可能的作用机制。**方法** 以人表皮黑素细胞为研究对象,分为对照组、紫外线照射组、甘草酸苷干预组( $2, 5, 10 \mu\text{mol/L}$ )5组。采用比色法检测黑素含量,Western blot 检测细胞环氧合酶-2(cyclooxygenase 2, Cox-2)、蛋白激酶 B(phosphorylated protein kinase B, p-Akt)、糖原合成激酶 3(glycogen synthase kinase-3 $\beta$ , GSK3 $\beta$ )、 $\beta$ -连环蛋白( $\beta$ -Catenin)、小眼畸形相关转录因子(microphthalmia-associated transcription factor, MITF)、酪氨酸酶(tyrosinase, TYR)、酪氨酸酶相关蛋白-1(tyrosinase-related protein-1, TRP-1)、酪氨酸酶相关蛋白-2(tyrosinase-related protein-2, TRP-2)蛋白的表达,免疫荧光染色检测 $\beta$ -Catenin 蛋白核定位。**结果** 与对照组比较,紫外线照射组显著增加 Cox-2、p-Akt、p-GSK3 $\beta$ 、 $\beta$ -Catenin、MITF、TYR、TRP-1、TRP-2 蛋白表达,促使 $\beta$ -Catenin 向核内转移,增加黑素细胞黑素生成( $P < 0.05$ )。与紫外线照射组比较,甘草酸苷不同剂量组均能抑制 Cox-2、p-Akt、p-GSK3 $\beta$ 、 $\beta$ -Catenin、MITF、TYR、TRP-1、TRP-2 蛋白表达,减少细胞黑素生成( $P < 0.05$ ),并呈剂量依赖性。**结论** 甘草酸苷通过下调 Cox-2/Akt/GSK3 $\beta$ / $\beta$ -Catenin 信号通路抑制紫外线诱导的黑素生成。

**关键词** 甘草酸苷; 黑素; 环氧合酶-2;  $\beta$ -连环蛋白; 中波紫外线

Glycyrrhizic Acid Suppressed UVB-induced Melanogenesis of Melanocytes via Down-regulating Cox-2/Akt/GSK3 $\beta$ / $\beta$ -Catenin Signal Pathway ZHOU Ling, GUO Liang, WANG Min, and ZHOU Wei  
Plastic and Cosmetic Department of Zhongnan Hospital, Wuhan University, Wuhan (430071)

**ABSTRACT Objective** To observe the inhibitory effect of glycyrrhizic acid (GA) on ultraviolet radiation b (UVB)-induced melanogenesis of melanocytes and possible mechanisms. **Methods** Human cutaneous melanocytes were divided into 5 groups, i.e., the control group, UVB group, GA intervention groups ( $2, 5$ , and  $10 \mu\text{mol/L}$ ). The melanin content was detected by colorimetric method. The expressions of cyclooxygenase 2 (Cox-2), phosphorylated protein kinase B (p-Akt), glycogen synthase kinase-3 $\beta$  (p-GSK3 $\beta$ ),  $\beta$ -Catenin, microphthalmia-associated transcription factor (MITF), tyrosinase (TYR), tyrosinase-related protein-1 (TRP-1) and tyrosinase-related protein-2 (TRP-2) were detected by Western blot. Nuclear localization of  $\beta$ -Catenin was measured by immunofluorescent staining. **Results** Compared with the control group, the expressions of Cox-2, p-Akt, p-GSK3 $\beta$ ,  $\beta$ -Catenin, MITF, TYR, TRP-1 and TRP-2 were significantly increased in the UVB-irradiated group. UVB irradiation also promoted  $\beta$ -Catenin to transform into the cell nuclear, and increase melanogenesis of melanocytes ( $P < 0.05$ ). Compared with the UVB-irradiated group, the expressions of Cox-2, p-Akt, p-GSK3 $\beta$ ,  $\beta$ -Catenin, MITF, TYR, TRP-1 and TRP-2 were significantly inhibited, and melanogenesis of melanocytes reduced in a dose dependent way in each GA intervention group ( $P < 0.05$ ). **Conclusion** GA inhibited melanin production through down-regulating Cox-2/Akt/GSK3 $\beta$ / $\beta$ -Catenin signal pathway in UVB-irradiated melanocytes.

**KEYWORDS** glycyrrhizin; melanin; Cox-2;  $\beta$ -Catenin; ultraviolet radiation b (UVB)

甘草酸苷是从中药甘草提取的单体成分,具有显著的抗炎活性,并被广泛应用于病毒性肝炎、慢性活动性肝炎、肿瘤及多种过敏性疾病的治疗<sup>[1,2]</sup>。黄褐斑(*melasma*)是一种常见的色素沉着性疾病,也称为肝斑。黄褐斑的病因及其发病机制复杂,治疗难度大,复发率高,且主要分布在颜面部,影响容貌,给患者造成严重的精神和心理负担,是皮肤和美容科的常见病,也是疑难病之一。近年来研究显示甘草提取物对黄褐斑等色素增加性疾病有脱色作用<sup>[3]</sup>,但甘草酸苷影响色素生成的具体机制目前尚未见深入研究。本研究通过紫外线照射人表皮黑素细胞模型,研究甘草酸苷抑制黑素细胞黑素生成的作用及与环氧合酶-2(*cyclooxygenase 2, Cox-2*)/蛋白激酶 B(*phosphorylated protein kinase B, p-Akt*)/糖原合成酶 3(*glycogen synthase kinase-3β, GSK3β*)/β-连环蛋白(*β-Catenin*)信号通路的关系,以期深化对甘草酸苷治疗黄褐斑的病理生理机制的理解。

## 材料与方法

**1 细胞** 实验所需皮肤黑素细胞采用原代培养和传代获取:取健康男性包皮环切术后遗弃的皮肤组织,消毒、剪碎后 0.25% 真表皮分离酶 4 ℃ 消化 24 h,分离出表皮,取出另以 0.25% 胰酶 37 ℃ 消化 15 min,吹打混匀,200 目筛网过滤获得单细胞悬液,接种于培养皿中,培养 4 h 后,换液去除未贴壁细胞,置于完全 1640 培养基中培养,每 3 天换液 1 次。传至 2~3 代,*Masson-Fontana* 染色鉴定,获取纯化的正常人表皮黑素细胞进行实验。

**2 药物** 甘草酸苷(GA)购自 Abcam 公司,10 mg 甘草酸苷用 12 mL 超纯水稀释,过滤除菌,配成浓度为 1 mmol/L 的储存液,分装 -20 ℃ 保存。使用时取培养基稀释成实验所需浓度。

**3 仪器与试剂** 鼠抗糖原合成酶 3(GSK3β),兔抗 p-GSK3β、β-Catenin、磷酸化 β-连环蛋白(p-β-Catenin)、酪氨酸酶(TYR)抗体购自 Santa 公司;兔抗小眼畸形相关转录因子(MITF)、酪氨酸酶相关蛋白-1(TRP-1)、TRP-2、Cox-2、蛋白激酶 B(p-Akt)购自 Abcam 公司,鼠抗 GAPDH 抗体购自中杉金桥生物公司;羊抗鼠及羊抗兔荧光二抗 IR Dye 800 CW(LI-COR Biosciences 公司);DMEM 培养基及小牛血清(GIBCO 公司),其余试剂购自武汉博士德公司。PVDF 膜(美国 Millipore 公司),SDS 凝胶电泳及转印装置(美国 BioRad 公司),Odyssey 凝胶图像处理系统(美国 Gene 公司),小型台式冷冻

离心机(德国 Eppendorf 公司),荧光倒置显微镜(德国 Zeiss 公司)。

## 4 方法

**4.1 乳酸脱氢酶释放实验确定甘草酸苷作用浓度** 细胞受损时释放乳酸脱氢酶,测定培养液中乳酸脱氢酶浓度可作为评估细胞损伤的指标。取对数生长期的同一传代黑素细胞,接种至 24 孔板,每孔  $5 \times 10^5$  个细胞。分为对照组、甘草酸苷分为 2、5、10、20、40  $\mu\text{mol/L}$  5 个浓度梯度。作用 48 h 后,每孔取 200  $\mu\text{L}$  培养液,4 ℃ 1 000 r/min 离心 5 min;取上清对应加入 96 孔板,每个检测孔加入 20  $\mu\text{L}$ ,先后加入 65  $\mu\text{L}$  丙酮酸磷酸钾缓冲液和 65  $\mu\text{L}$  NADH 溶液,震动混匀后置入酶标仪中,读取 340 nm 处吸光值,计算乳酸脱氢酶释放率,确定实验所用甘草酸苷浓度。

**4.2 紫外线照射及甘草酸苷干预** 每次实验时取对数生长期的同一传代黑素细胞,接种至 6 孔板,分为对照组、UVB 组、甘草酸苷干预组(分为 2、5、10  $\mu\text{mol/L}$  3 个浓度梯度组),每组 3 孔,1  $\times 10^6$  细胞/孔,液体量 2 mL/孔。细胞接种 24 h 后,以 0.01 mol/L PBS 换液,UV 照射组及甘草酸苷干预组予以 285~320 nm 波长 UVB 照射,剂量 30 mJ/cm<sup>2</sup>,照射结束后再以新鲜培养基换液(甘草酸苷干预组分别加用含 2、5、10  $\mu\text{mol/L}$  浓度甘草酸苷的培养基)。连续进行 UVB 照射 3 天。末次照射后 24 h 进行检测,同一检测重复 3 次实验<sup>[4]</sup>。

**4.3 黑素含量测定** 收获大约 5  $\times 10^6$  个细胞,0.01 mol/L PBS 2  $\times$  5 min,加入含 10% DMSO 的 1 mol/L NaOH 溶液 1 mL,冻融 2 次,加入双蒸水 4 mL 稀释,离心后取上清液加入 96 孔板,每孔加入 100  $\mu\text{L}$ ,每组 8 个复孔,用酶标仪 492 nm 波长测得各孔吸光度值。黑素含量以(实验组吸光度值/空白对照组吸光度值 - 1)  $\times 5$  来计算<sup>[5]</sup>。

**4.4 蛋白印迹试验** 每孔蛋白上样量 30  $\mu\text{g}$ ,电泳、转膜后,5% 脱脂奶粉室温封闭 2 h;一抗(抗体 1:1 000 稀释;抗 GAPDH 抗体 1:10 000 稀释)4 ℃ 孵育过夜;1 × TBST 液洗 3  $\times$  5 min;荧光二抗(羊抗兔 1:10 000,兔抗鼠 1:10 000)室温摇床孵育 1 h;1 × TBST 液洗 3  $\times$  10 min;将 PVDF 膜置于 Odyssey 凝胶图像处理系统显影。

**4.5 免疫荧光染色** 细胞爬片,2% 多聚甲醛固定 10 min,0.2% triton X-1000 透膜 10 min,0.01 mol/L PBS 洗 3  $\times$  5 min;2% BSA 室温封闭 1 h;0.01 mol/L PBS 洗 2  $\times$  5 min;兔抗 β-Catenin(1:200),室温孵育 2 h;0.01 mol/L PBS 洗 3  $\times$

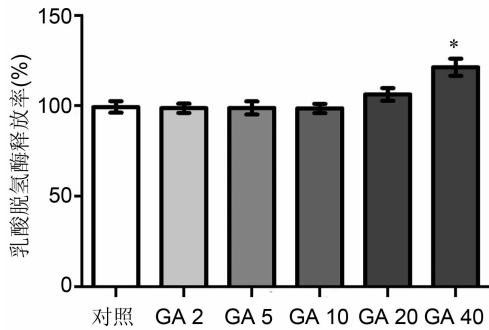
10 min; 山羊抗兔 IgG-Alexa 488(1: 500) 室温避光保湿 1 h; 0.01 mol/L PBS 洗 4 × 5 min; DAPI 封片, 置于荧光显微镜采集图像。Image pro plus 6.0 软件进行荧光定量分析。不加一抗的封闭液作为阴性对照。

**4.6 统计学方法** 采用 SPSS 20.0 软件进行分析, 数据采用  $\bar{x} \pm s$  表示。组间比较采用 t 检验分析, 多组间比较采用方差分析, 检验后采用 Tukey 法进行组间多重比较。 $P < 0.05$  为差异有统计学意义。

## 结 果

### 1 不同浓度甘草酸苷对乳酸脱氢酶释放的影响

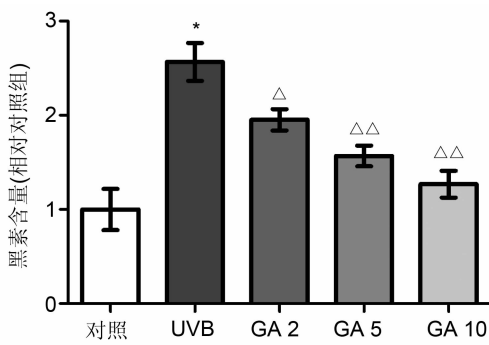
(图 1) 甘草酸苷至 20  $\mu\text{mol}/\text{L}$  浓度, 黑素细胞乳酸脱氢酶释放率与对照组比较, 差异无统计学意义 ( $F = 6.99, P > 0.05$ )。故实验选用甘草酸苷浓度为 2、5、10  $\mu\text{mol}/\text{L}$  3 个浓度梯度组。



注: 与对照组比较, \* $P < 0.05$

图 1 乳酸脱氢酶释放实验

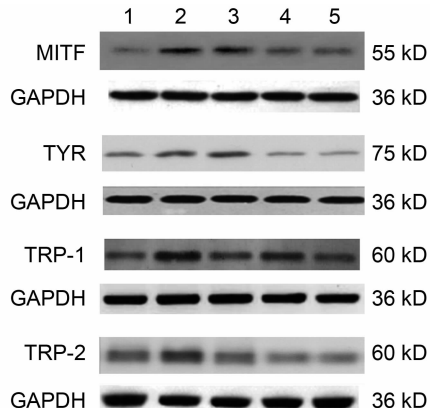
**2 各组黑素细胞黑素含量比较(图 2)** 与对照组比较, UVB 组黑素细胞黑素含量显著增加 ( $t = 12.91, P < 0.01$ ); 与 UVB 组比较, GA2、GA5、GA10 组紫外线诱导的黑素生成显著减少 ( $F = 87.12, P < 0.05, P < 0.01$ )。



注: 与对照组比较, \* $P < 0.01$ ; 与 UVB 组比较, <sup>△</sup> $P < 0.05$ , <sup>△△</sup> $P < 0.01$

图 2 各组黑素细胞黑素含量比较

**3 各组黑素细胞 MITF、TYR、TRP-1、TRP-2 蛋白表达比较(图 3, 表 1)** 与对照组比较, UVB 组黑素细胞 MITF ( $t = 12.05, P < 0.01$ )、TYR ( $t = 9.10, P < 0.01$ )、TRP-1 ( $t = 12.93, P < 0.01$ )、TRP-2 ( $t = 10.48, P < 0.01$ ) 蛋白表达显著增加。与 UVB 组比较, GA5、GA10 组能减少 MITF ( $F = 25.40, P < 0.05$ ) 和 TYR ( $F = 28.49, P < 0.05$ ) 的蛋白表达。GA2、GA5、GA10 组均能显著减少 TRP-1 ( $F = 36.91, P < 0.05, P < 0.01$ )、TRP-2 ( $F = 45.27, P < 0.05, P < 0.01$ ) 蛋白表达。



注: 1 为对照组; 2 为 UVB 组; 3 为 GA2 组; 4 为 GA5 组;

5 为 GA10 组; 下图同

图 3 各组黑素细胞 MITF、TYR、TRP-1、TRP-2 蛋白电泳图

**4 各组黑素细胞 Cox-2、p-Akt、GSK3 $\beta$ 、p-GSK3 $\beta$ 、 $\beta$ -Catenin、p- $\beta$ -Catenin 蛋白表达比较(图 4, 表 2)** 与对照组比较, UVB 组黑素细胞 Cox-2 ( $t = 19.08, P < 0.01$ )、p-Akt ( $t = 15.73, P < 0.01$ )、p-GSK3 $\beta$  ( $t = 9.99, P < 0.01$ )、 $\beta$ -Catenin ( $t = 9.42, P < 0.01$ ) 蛋白表达显著增加, GSK3 $\beta$ 、p- $\beta$ -Catenin 蛋白表达减少 ( $t = 7.44, P < 0.01$ )。与 UVB 组比较, GA2 组减少 Cox-2 蛋白表达 ( $P < 0.01$ ), 增加 GSK3 $\beta$  蛋白表达 ( $P < 0.01$ ), GA5、GA10 组能显著减少 Cox-2 ( $F = 50.54, P < 0.01$ )、p-Akt ( $F = 42.87, P < 0.01$ )、p-GSK3 $\beta$  ( $F = 25.12, P < 0.01$ )、 $\beta$ -Catenin ( $F = 14.30, P < 0.05, P < 0.01$ ) 蛋白表达, 增加 GSK3 $\beta$ 、p- $\beta$ -Catenin 蛋白表达 ( $F = 21.80, P < 0.05, P < 0.01$ )。

**5 各组黑素细胞  $\beta$ -Catenin 在细胞核内外分布比较(图 5)** 与对照组比较, UVB 组黑素细胞细胞质内 ( $t = 8.21, P < 0.01$ ) 及细胞核内 ( $t = 9.11, P < 0.01$ )  $\beta$ -Catenin 含量均显著增加; 与 UVB 组比较, GA5、GA10 组能减少细胞质内 ( $F = 16.34, P < 0.05, P < 0.01$ ) 及细胞核内 ( $F = 21.82, P < 0.01$ )  $\beta$ -Catenin 的表达水平。

表 1 各组黑素细胞 MITF、TYR、TRP-1、TRP-2 蛋白相对表达量比较 ( $\bar{x} \pm s$ )

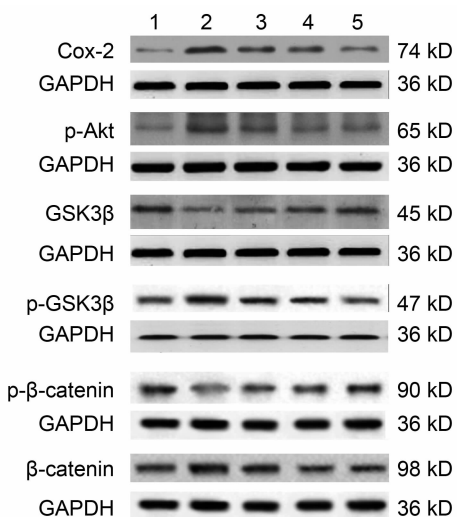
组别	n	MITF	TYR	TRP-1	TRP-2
对照	9	1.00 ± 0.22	1.00 ± 0.21	1.00 ± 0.13	1.00 ± 0.22
UVB	9	2.80 ± 0.29*	2.09 ± 0.19*	2.74 ± 0.29*	2.75 ± 0.35*
GA2	9	2.54 ± 0.21	2.02 ± 0.21	2.11 ± 0.16△	2.13 ± 0.20△
GA5	9	2.01 ± 0.25△	1.70 ± 0.20△	1.83 ± 0.21△△	1.81 ± 0.19△△
GA10	9	1.66 ± 0.24△△	1.13 ± 0.19△△	1.55 ± 0.10△△	1.21 ± 0.18△△

注:与对照组比较, \*P < 0.01; 与 UVB 组比较, △P < 0.05, △△P < 0.01

表 2 各组黑素细胞 Cox-2、p-Akt、GSK3β、p-GSK3β、β-Catenin、p-β-Catenin 蛋白相对表达量比较 ( $\bar{x} \pm s$ )

组别	n	Cox-2	p-Akt	GSK3β	p-GSK3β	β-Catenin	p-β-Catenin
对照	9	1.00 ± 0.17	1.00 ± 0.13	1.00 ± 0.12	1.00 ± 0.15	1.00 ± 0.22	1.00 ± 0.17
UVB	9	2.94 ± 0.19*	3.13 ± 0.30*	0.26 ± 0.03*	2.95 ± 0.45*	2.70 ± 0.39*	0.37 ± 0.11*
GA2	9	2.20 ± 0.26△	2.60 ± 0.21	0.39 ± 0.04△	2.46 ± 0.30	2.37 ± 0.35	0.42 ± 0.09
GA5	9	1.89 ± 0.25△△	2.07 ± 0.22△△	0.55 ± 0.06△△	1.86 ± 0.27△△	1.93 ± 0.23△	0.71 ± 0.15△
GA10	9	1.51 ± 0.10△△	1.69 ± 0.20△△	0.74 ± 0.07△△	1.55 ± 0.10△△	1.58 ± 0.28△△	0.84 ± 0.11△△

注:与对照组比较, \*P < 0.01; 与 UVB 组比较, △P < 0.05, △△P < 0.01

图 4 各组黑素细胞 Cox-2、p-Akt、p-GSK3β、GSK3β、  
β-Catenin、p-β-Catenin 蛋白电泳图

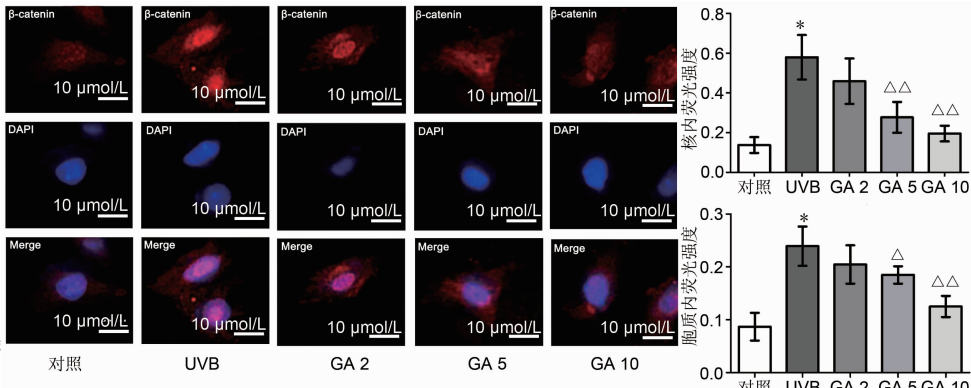
## 讨 论

黄褐斑属于色素沉着性皮肤病, 在亚洲人群中尤

为常见, 其病因及发病机制复杂, 具有顽固性和复发性的特点。目前研究认为紫外线日晒在其发病机制中占重要地位<sup>[6]</sup>。GA 是从甘草植物根茎中提取的活性三萜苷, 被广泛用于抗炎、保护肝功能、抗过敏等方面<sup>[2]</sup>。近年来在临床前研究和临床应用中, 显示甘草提取物对黄褐斑等色素增加性疾病具有脱色作用<sup>[7,8]</sup>, 但其具体作用机制目前尚未见进一步研究。

黑素生成是一个复杂的过程, 涉及一系列复杂的酶和化学催化反应。在这个过程中, L-酪氨酸经过几种醌中间体成为一个复杂的生物聚合物。TYR、TRP-1 和 TRP-2 在其中起着关键限速酶的作用。而 MITF 是黑素生成过程中重要的转录因子, 参与外界刺激对黑素细胞黑素生成的调控, 可以直接调控包括 TYR、TRP-1 和 TRP-2 在内的相关色素基因的转录, 促进黑素细胞黑素合成<sup>[9]</sup>。

本研究首先对 GA 干预紫外线照射的人表皮黑素细胞后, 黑素细胞黑素含量以及 MITF、TYR、TRP-1、TRP-2 蛋白表达量的变化进行了检测。结果显示, 紫外



注:与对照组比较, \*P < 0.01; 与 UVB 组比较, △P < 0.05, △△P < 0.01

图 5 各组黑素细胞 β-Catenin 在细胞核内外分布比较

线照射后,人表皮黑素细胞黑素含量显著升高,而 GA 干预后,可呈剂量依赖性降低紫外线诱导的黑素生成。Western blot 结果显示,紫外线照射后,人表皮黑素细胞 MITF、TYR、TRP-1、TRP-2 表达水平升高,而 GA 干预可降低上述蛋白表达水平,其影响呈剂量依赖性。证实 GA 可减少紫外线诱导的黑素细胞黑素合成。

有研究证实黑素细胞在非活跃状态下可以表达 Cox-2,而在紫外线照射等应激情况下 Cox-2 表达量会增高<sup>[10]</sup>。亦有研究显示,GA 能抑制寄生虫感染时 Cox-2 介导的炎症反应<sup>[11]</sup>。目前已知,Cox-2 可促进花生四烯酸合成前列腺素 E,进而促进 Akt 磷酸化<sup>[12]</sup>。磷酸化的 Akt 可促使 GSK3β 磷酸化<sup>[13]</sup>。GSK3β 是 β-Catenin 通路中的关键蛋白,可与腺瘤性息肉病基因 (adenomatous polyposis coli, APC) 和 Axin 形成蛋白复合物 APC/Axin/GSK3β,将磷酸基团加到 β-Catenin N 端的丝氨酸/苏氨酸残基上,磷酸化的 β-Catenin 经泛素化共价修饰后,被蛋白酶体降解,使胞质内的 β-Catenin 维持在低水平<sup>[14]</sup>。而当 GSK3β 被 p-Akt 磷酸化时,APC/Axin/GSK3β 功能受抑制,β-Catenin 不能及时被降解,积累在细胞质中,当细胞质中 β-Catenin 蛋白积累到一定水平后,可进入细胞核内并调节增殖、黏附、分化、和生存等细胞过程<sup>[15]</sup>。MITF 启动子的激活及蛋白表达亦受 β-Catenin 调控<sup>[16]</sup>。因此,上述研究结果提示,通过调节 Cox-2/Akt/GSK3β/β-Catenin 通路很可能是 GA 影响黑素细胞黑素生成的重要机制。

综上所述,GA 作为中药甘草的提取物,具有良好的药物安全性。GA 抑制紫外线诱导黑素生成的作用,可能是与其通过下调 Cox-2/Akt/GSK3β/β-Catenin 信号通路,进而减少 MITF、TYR、TRP-1、TRP-2 表达有关。这一结果有助于加深对药物治疗机制的认识和理解,为 GA 用于黄褐斑等色素沉着疾病的临床治疗提供实验依据。但黑素生成是一个复杂的过程,在 GA 减少黑素生成过程中,是否有其他信号通路的参与还有待于进一步研究。

利益冲突:无。

## 参 考 文 献

- [1] Tanahashi T, Mune T, Morita H, et al. Glycyrrhetic acid suppresses TYRe 2 11 beta-hydroxysteroid dehydrogenase expression *in vivo* [J]. J Steroid Biochem Mol Biol, 2002, 80(4-5): 441-447.
- [2] Ming LJ, Yin AC. Therapeutic effects of glycyrrhetic acid [J]. Nat Prod Commun, 2013, 8(3): 415-418.
- [3] Sheth VM, Pandya AG. Melasma: a comprehen-

- sive update: part II [J]. J Am Acad Dermatol, 2011, 65(4): 699-714.
- [4] Gu WJ, Ma HJ, Zhao G, et al. Additive effect of heat on the UVB-induced tyrosinase activation and melanogenesis via ERK/p38/MITF pathway in human epidermal melanocytes [J]. Arch Dermatol Res, 2014, 306(6): 583-590.
- [5] Weinstein GD, Nigra TP, Poehl PE, et al. Topical tretinoin for treatment of photo damaged skin—A multicenter study [J]. Arch Dermatol, 1991, 127(5): 659-665.
- [6] Falabella R, Barona MI. Update on skin repigmentation therapies in vitiligo [J]. Pigment Cell Melanoma Res, 2009, 22(1): 42-65.
- [7] Callender VD, St Surin-Lord S, Davis EC, et al. Postinflammatory hyperpigmentation: etiologic and therapeutic considerations [J]. Am J Clin Dermatol, 2011, 12(2): 87-99.
- [8] 黄伟. 甘草提取物美白膏治疗黄褐斑的临床研究 [D]. 长沙: 湖南中医药大学, 2013: 1-37.
- [9] Pillaiy T, Manickam M, Jung SH. Recent development of signaling pathways inhibitors of melanogenesis [J]. Cell Signal, 2017, 40: 99-115.
- [10] Kim JY, Shin JY, Kim MR, et al. siRNA-mediated knock-down of Cox-2 in melanocytes suppresses melanogenesis [J]. Exp Dermatol, 2012, 21(6): 420-425.
- [11] Yu JY, Ha JY, Kim KM, et al. Anti-Inflammatory activities of licorice extract and its active compounds, glycyrrhetic acid, liquiritin and liquiritigenin, in BV2 cells and mice liver [J]. Molecules, 2015, 20(7): 13041-13054.
- [12] Cheng Y, Li Y, Liu D, et al. miR-137 effects on gastric carcinogenesis are mediated by targeting Cox-2 activated PI3K/AKT signaling pathway [J]. FEBS Lett, 2014, 588(17): 327432-327481.
- [13] Bishnupuri KS, Sainathan SK, Bishnupuri K, et al. Reg4-induced mitogenesis involves Akt-GSK3β-β-Catenin-TCF-4 signaling in human colorectal cancer [J]. Mol Carcinogenesis, 2014, 53(1): 169-180.
- [14] Voronkov A, Krauss S. Wnt/beta-catenin signaling and small molecule inhibitors [J]. Curr Pharm Des, 2013, 19(4): 634-664.
- [15] Stewart DJ. Wnt signaling pathway in non-small cell lung cancer [J]. J Natl Cancer Inst, 2014, 106(1): djt356.
- [16] Yun CY, You ST, Kim JH, et al. p21-activated kinase 4 critically regulates melanogenesis via activation of the CREB/MITF and β-Catenin/MITF pathways [J]. J Invest Dermatol, 2016, 135(5): 1385-1394.

(收稿: 2018-03-08 在线: 2018-11-04)

责任编辑: 段碧芳  
英文责编: 张晶晶